論文

大断面を有するPRC部材の終局純ねじり耐力に関する研究 Γ21227

正会員 児島孝之(立命館大学土木工学科) 正会員 高木宣章(立命館大学土木工学科) 正会員〇上垣義明(大林組)

1. はじめに

土木学会「コンクリート標準示方書」では、プレストレスト鉄筋コンクリート(PRC)部材の 終局ねじり耐力を鋼材の降伏が先行する場合には、終局限界状態でプレストレスが消失するとし て鉄筋コンクリート部材同様に求めてよいことが規定されている。しかし、PRC部材の終局ね じり耐力は導入プレストレス量に依存すること、しかも本示方書のねじり耐力式における終局時 の軸方向鋼材と横方向鉄筋のせん断流q」とq、がほぼ等しいねじり型配筋になっていても、軸方 向鋼材と横方向鉄筋の鉄筋比の比つまり剛性の差により、実験値が理論値より非常に小さくなる ことなどが指摘されている[1][2]。更に部材断面積が小さい時には、ねじり有効断面積が純ねじ り耐力に及ぼす影響が大きいことも指摘されている。

本研究では、土木学会「コンクリート標準示方書」のねじり耐力式における終局時の軸方向鋼 材と横方向鉄筋のせん断流 g 1と g *がほぼ等しく、両者の鋼材比もほぼ等しい大断面を有する P RC部材の純ねじり試験を、軸方向鋼材量、横方向鉄筋量と導入プレストレス量を要因として行 ない、終局ねじり耐力、変形性能などに及ぼすプレストレスの効果について検討を行なった。

2. 実験概要

終局時の軸方向鋼材と横方向鉄筋のせん断流qュとqwの比を0.8≦qュ/qw≦1.25にし、鋼材比 (p_1/p_w) をほぼ1にするため、4タイプのはりを作製した。実験計画を表-1に示す。タイプ R1は、PC鋼棒を4本配置し高強度せん断補強筋を使用したPRCはりで、軸方向鋼材と横方 向鉄筋の鋼材比はともに約0.6%である。タイプR2は、RCはり(軸方向鉄筋:4D13,高強度せ ん断補強筋)の上下にPC鋼棒を配置したPRCはり。タイプR3はRCはり(軸方向鉄筋: 4D16, スターラップ: SD35)の上下にPC鋼棒を配置し、軸方向鋼材と横方向鉄筋の鋼材比をタイプR 1の約2倍にしたPRCはり。タイプR4は、軸方向鋼材と横方向鉄筋の鋼材比をタイプR1の

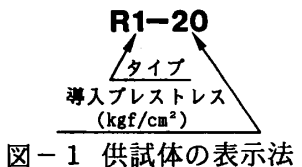
917°	軸方向鋼材		横方向鉄筋		鋼材比(%)		終局時のせん断流(kgf/cm)			λ	бр∙				
	鉄筋	PC鋼棒	規格	種類	s	Pı	p.	p 1/p w	q 1.	Q 1p	Q ı	q.	q 1/q =		(kgf/cm²)
R 1		4 ø 13	KSS80	D10	14	0.61	0.58	1.05		467.1	467.1	502.9	0.93	1.00	5,20,40
R 2	4D13	2 ø 13	KSS80	D10	14	0.88	0.58	1.52	191.3	233.6	424.9	502.9	0.84	0.55	5,20
R3	4D16	2 ø 13	SD35	D13	11	1.21	1.32	0.92	292.8	233.6	526.4	434.8	1.21	0.44	5,20
R 4	4D19		SD35	D13	11	1.31	1.32	0.99	452.8		452.8	434.8	1.04	0	

表-1 実験計画

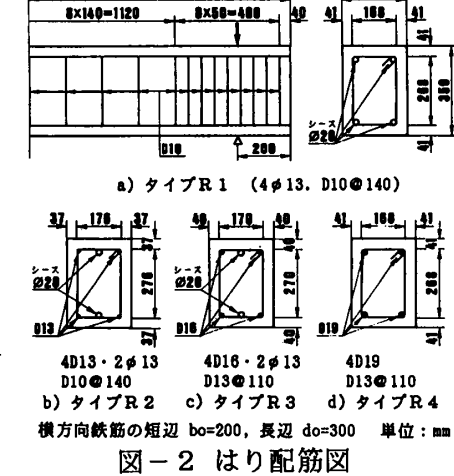
 $p_1=\sum A_{t1}/(b\cdot d)$ $p_w=A_{tw}\cdot u/(b\cdot d\cdot s)$

s:横方向鉄筋の軸方向間隔(cm) u=2(bo+do)

Q 1= Σ A t 1 · f 1 a / u Q w = A t w · f w a / s bo, do.: 横方向鉄筋の短辺長さおよび長辺長さ σ p c : 有効プレストレス(kgf/cm²) Ap, fpya: PC鋼材の断面積と降伏強度 λ:終局プレストレス率 λ=ΣAp·fpyd/ΣAtl·fld



約2倍にしたRCはり。 各はりの終局ねじり耐力は、土木学会「コンクリート標準示方書」 の鋼材降伏時の終局は じり耐力がほぼ同じになるように設計した。



2000(全長)

導入プレストレス量は、5、20、40kgf/cm²の3水準とした。 各タイプの供試体とも正負交番純ねじり載荷試験を行なった。 供試体の表示法を図-1に、はりの配筋図を図-2に示す。 軸方向鉄筋にはD13、D16、D19(ともにSD35)を、横方向鉄筋 にD13(SD35)と高強せん断補強筋D10(KSS80)を、PC鋼棒に ø 13(SBPR80

/95)を使用した。使用鋼材の機械的性質を表-2に示す。はり寸法は、全て25x35x200cm。

ねじり載荷装置を図-3に示す。ねじり載荷は、はりの両支点部に取り付けた偏心載荷用アームを直接載荷することにより行なった。試験スパンは160cm、偏心距離は20cmである。正負交番ねじり載荷は、荷重増分を処女載荷時には0.5あるいは1tf、経験荷重時には2あるいは3tfとし、ねじり回転角による変位制御により行なった。1ループ目は、8x10-6rad/cmの回転角まで載荷し、その後除荷し負のねじり載荷を同じ回転角まで行なった。その後、16、32、64x10-6--rad/cm毎に各一回づつループさせ、はりを破壊させた。大変形時においても正確なねじり回転角を測定するために、はりに埋め込んだ変位測定用アングルから変位計により変位を測定し、単位長さあたりのねじり回転角を求めた。

2 1) 個心用アーム 5) 供試体 2) 飲荷用ビーム 6) 試験機 3) PC網棒 7) 支点 4) ヒンターホール式袖圧ダヤッキ 図ー3 ねじり載荷装置

表-2 使用鋼材の機械的性質

規格	種類	降伏強度 (kgf/cm²)	引張強度 (kgf/cm²)		
SD35	D13	3775	5754		
SD35	D16	3686	5821		
SD35 KSS80	D19 D10	3951 9870	6216 10520		
N 2 2 6 0	סוע	3010	10020		
SBPR80/95	ø 13	8800	9700		

表-3 ねじり回転角

供試体	0 cr	θu	θ max
R1-5 R1-20 R1-40	31.0		536.6 615.1 489.8
R2-5 R2-20		-	619.7 542.3
		274.5 330.9	
R4	14.6	259.0	697.7

θ cr: ねじりひびわれ発生 時のねじり回転角 θ u: 最大ねじりモーメン

ト時のねじり回転角 9_{max}:最大ねじり回転角 単位:10⁻⁶rad/cm

3. 実験結果および考察

3.1 ねじり変形

ねじりひびわれ発生時、最大ねじりモーメント時のねじり回転角および最大ねじり回転角を表ー3に示す。ねじりモーメントとねじり回転角の関係の一例を図ー4に示す。最初に発見されたねじりひびわれは、全て正方向載荷時に発生した。PRCはりのねじりひびわれ発生時のねじり回転角は、導入プレストレスに伴い増加し、タイプR4(RC)はりよりかなり大きい値を示した。しかし、プレストレスの増加に伴い、ひびわれ発生から終局耐力時までのねじり回転角の増加が少ない。タイプR3はりの最大ねじりモーメント時のねじり回転角が大きいのは、タイプR1とR2はりの約2倍の鋼材を使用していること、および軸方向鋼材に占めるPC鋼棒の割合が少ないために、RCはりに近い挙動を示すためと考えられる。

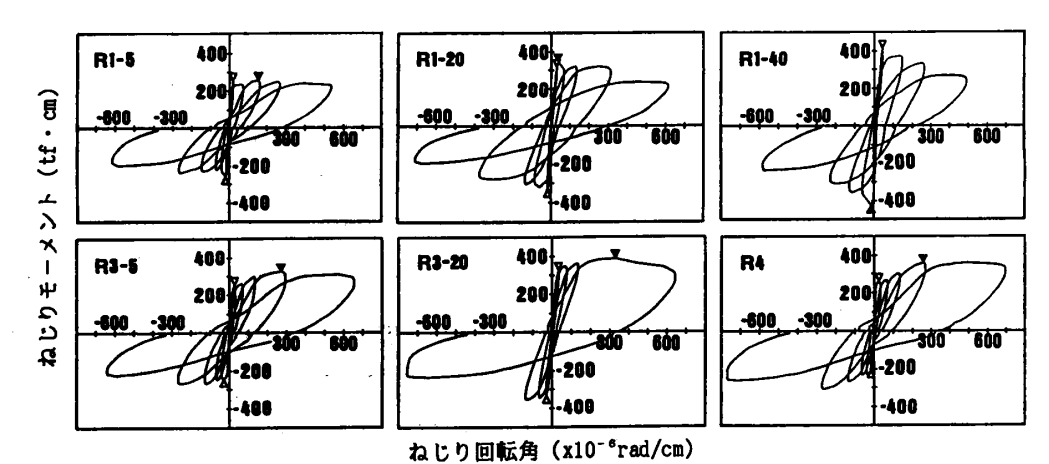


図-4 ねじりモーメントとねじり回転角の関係 注:▽はねじりひびわれ発生時,▼は最大ねじりモーメント時

3.2 鋼材のひずみ

(1) スターラップひずみ

ねじりモーメントとスターラップひずみの関係の一例を図ー5に示す。高強度せん断補強鉄筋(KSS80、D10)とSD35(D13)の降伏ひずみは、各々7050、1798μである。高強度せん断補強鉄筋を使用したタイプR1とR2はりでは、最大ねじりモーメント時のスターラップひずみは一例を除き非常に小さく降伏していないが、最終ループまでにほとんどのはりで少なくとも1本のスターラップが降伏しているのが観察された。SD35のせん断補強鉄筋を使用したタイプR3とR4はりでは、最大ねじりモーメント時に数本のスターラップが降伏しており、ねじりとんどのスターラップが降伏しており、ねじり

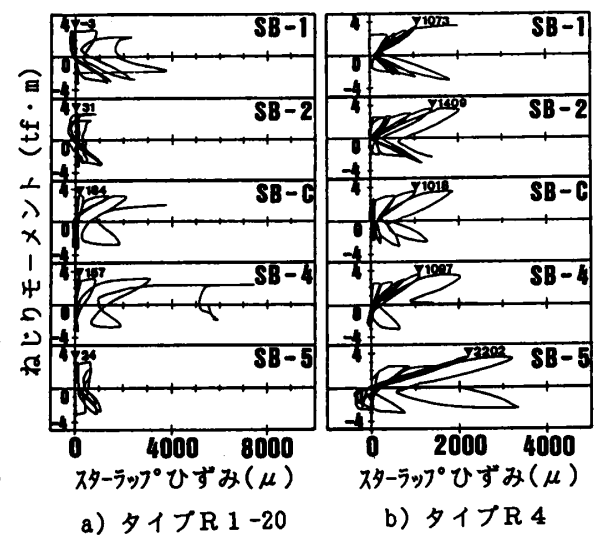


図-5 ねじりモーメントとスターラップひずみの関係 注:▼は最大ねじりモーメント時のひずみ 図中の記号はスターラップ番号

に対してスターラップが効果的に抵抗している。高強度せん断補強鉄筋は普通鉄筋に比較してひずみの増加が少ないために、ねじりに対して必ずしも効果的に抵抗していないと考えられる。

(2) 軸方向鋼材ひずみ

ねじりモーメントと軸方向鋼材ひずみの関係の一例を図-6に示す。PC鋼棒と軸方向鉄筋の降伏ひずみは、各々6300(ϕ 13)、1798 μ (D13)、1881 μ (D19)である。プレストレス導入時にPC鋼棒のひずみに幾分の変動があり、更には測定不能になったゲージがあるものの、最大ねじりモーメント時にPC鋼棒の降伏は観察されなかった。タイプR1はりでは、プレストレス導入時のPC鋼棒の緊張ひずみが小さいタイプR1-5はりを除くと、プレストレス導入時のPC鋼棒ひずみ近傍で最大ねじりモーメントに達した。タイプR2はりでは、タイプR1はりと同様の傾向であったが、最大ねじりモーメント直後に変位制御が困難になりPC鋼棒と軸方向鉄筋のひずみに急激な増加が見られた。しかし、最大ねじりモーメント時の軸方向鉄筋の降伏が確認された。タイプR3はりは、最大ねじりモーメント時の軸方向鉄筋の降伏が確認された。タイプR3はりは、最大ねじりモーメント時の軸方向鉄筋のひずみがタイプR2はりより大きいが、挙動はR

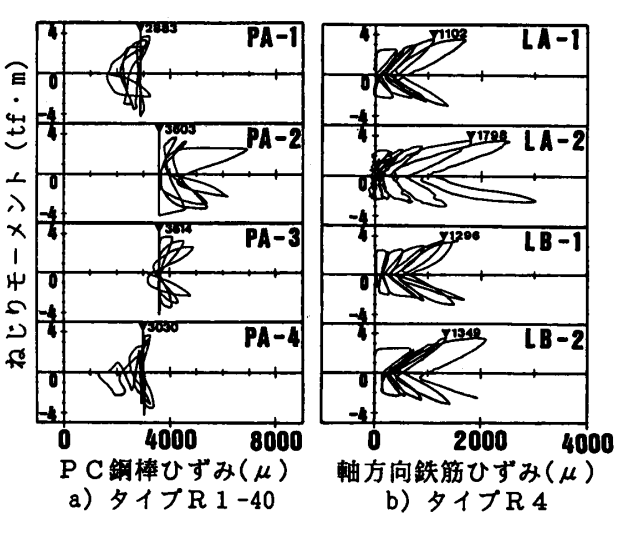
2はりと同じであった。タイプR4(RC)は りでは、正方向と負方向のねじりモーメント に対して軸方向鉄筋が同等に抵抗し、最大ね じりモーメント時に1本の鉄筋が降伏し、そ の後の繰返し載荷で残りの鉄筋が最終ループ までに降伏した。一般に、PC鋼棒はプレス トレス導入時のひずみあたりまでしかねじり に対して抵抗していない。

3.3 ひびわれ発生ねじりモーメント

ひびわれ発生ねじりモーメントの増加率と プレストレス係数の関係を図ってに示す。ひ びわれ発生ねじりモーメントを表ー4に示す。 ひびわれ発生ねじりモーメントの増加率はプ レストレス係数にほぼ等しいものの、導入プ レストレスが小さいとプレストレス係数より 小さく、導入プレストレスが大きいとプレス トレス係数より大きい傾向にある。Hsu式[3] はコンクリートの曲げ強度を使用することに より塑性効果を考慮しているものの、はり断 面の縦横比の影響を考慮していない。児島式 [4]は、コンクリートの応力~ひずみ曲線を bilinear型に仮定して、終局ひずみを引張強 度と曲げ強度の関数で表示し、はり断面の縦 横比の影響を考慮している。そのため、Hsu 式は全体的に危険側を、児島式は安全側の良 好な値を示した。

3.4 終局ねじり耐力

終局ねじり耐力を表-5に示す。終局ねじり耐力と有効プレストレスの関係を図-8に、終局ねじり耐力の増加率とプレストレス係数の関係を図-9に示す。終局ねじり耐力は、プレストレス係数にほぼ比例して増加する。各はりとも土木学会「コンクリート標準示方書」の鋼材降伏時の終局ねじり耐力がほぼ等しくなるように設計されている。しかし、導入プレストレスが20kgf/cm²(プレストレス係数1.26~1.27)より小さいPRCはりの終局ねじり耐力は、プレストレスを導入していないタイプR4はりより小さい。しかも終局時の軸方向鋼材のせん断流にPC鋼棒が占める



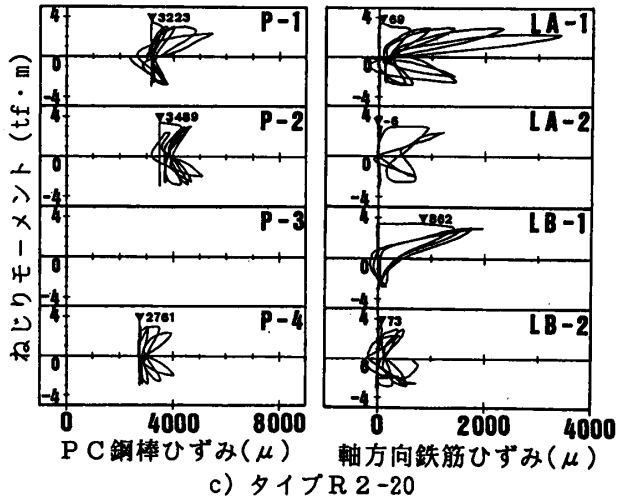


図-6 ねじりモーメント と軸方向鋼材ひずみの関係 注:▼は最大ねじりモーメント時のひずみ 図中の記号は軸方向鋼材番号

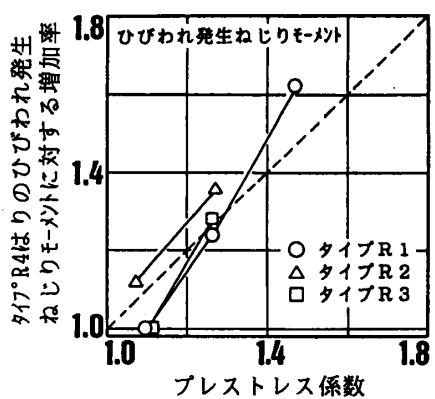


図-7 ひびわれ発生ねじりモーメントの 増加率とプレストレス係数の関係

割合が少ないほど、終局ねじり耐力が大きくなる傾向にあった。タイプR4はりと同等の終局ねじり耐力を得るためには、プレストレスを20~25kgf/cm2導入することが必要であった。

終局ねじり耐力時に高強度せん断補強鉄筋とRC鋼棒は降伏しておらず、非常に小さい値を示

表-4 ひびわれ発生ねじりモーメント

供試体	Ø p.	コングリート強度		γ	実験値(tf・cm)		理論値(tf・cm)		
		f' c	f٤	fь		正方向	負方向	Hsu式[3]	児島式[4]
R1-5	5.6	397	28	53	1.10	263.5 [1.00]	-276.5	361.3 (0.73)	226.2 (1.16)
R1-20	21.0	476	36	49	1.26	326.7 [1.24]	-352.5	382.7	279.6
R1-40	42.1	457	36	63	1.47	426.8 [1.62]	-455.4	574.0 (0.74)	374.2 (1.14)
R2-5	5.0	373	34	68	1.07	295.2 [1.12]	-260.2	451.0 (0.85)	273.8 (1.08)
R2-20	19.3	449	32	71	1.27		-281.9	558.9 (0.84)	318.7
R3-5	5.2	408	26	46	1.10	263.5 [1.00]	-280.2	313.6 (0.84)	203.4 (1.30)
R3-20	19.2	404	33	46	1.26	337.3 [1.28]	-352.5	359.2 (0.94)	259.9 (1.30)
R4		483	26	49		263.5 [1.00]	-216.9	303.7 (0.87)	190.6 (1.38)

σpe: 有効プレストレス (kgf/cm²)

'。, fε, fь: 載荷試験時のコンクリートの圧縮強度,引張強度,曲げ強度 γ:プレストレス係数 γ=√1+(σ,,/fε)

]:タイプR4に対する増加率):安全率=実験値(正方向)/理論値

した。特に、PC鋼棒はプレストレス導入時のひずみ近 傍で終局ねじり耐力に達する。PC鋼棒は導入ひずみ近 傍まではねじりに対して抵抗するが、その後の荷重繰返 しに伴うひずみ増加は変形に対して抵抗するのみでねじ り耐力に対しては寄与しない。そのために、導入プレス トレスが少ないPRCはりの終局ねじり耐力の理論値は、 常に危険側となる。

終局ねじり耐力の実験値と理論値の関係を図-10に示 す。土木学会式はプレストレスの効果を考慮していない ので、Hsu式と児島式に比較してかなり危険側の値を示 す。多くのはりで終局ねじり耐力の実験値が腹部コンク リートの斜め圧縮耐力(Mtcua)より下回ったが、腹部コ ンクリートが斜め圧縮破壊したはりは観察されなかった。 斜め曲げ理論によるHsu式[3]と立体トラス理論による児 島式[4]は、ともに終局ねじり耐力をコンクリートと鋼 材の和として求めることが一致している。しかし、終局 ねじり耐力へのコンクリートの寄与分をHsu式は全断面 に対して、児島式は内部コアに対して求めている。鋼材 の寄与分を、Hsu式は横方向鉄筋に対して、児島式は横 方向鉄筋と軸方向鋼材による耐力の小さい方を採用して いる。またプレストレスの効果を、Hsu式はコンクリー トによるねじり耐力のみに加算しているのに対して、児 島式はコンクリートばかりでなく鋼材にもその効果を考

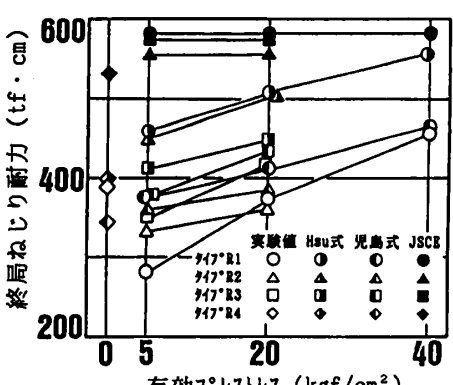
表-5 終局ねじり耐力

供試体	γ	実験値	理論値 (tf·cm)					
		(tf·cna)	土木:	学会式	Hsu式 [3]	児島式 [4]		
			Mecua	Mtya	เจา	(λ=0.8)		
R1-5	1.10	279.1 [1.00]	397.5	581.6 (0.48)	458.5 (0.61)	373.9 (0.75)		
R1-20	1.26	373.2 [1.34]	435.3	581.6	508.5 (0.73)	413.5		
R1-40	1.47	455.4 [1.63]	426.5	581.6	558.4 (0.82)	463.0 (0.98)		
R2-5	1.07	332.7 [1.00]	385.3		449.8 (0.74)	359.5 (0.93)		
R2-20	1.27	359.4 [1.08]	422.7		505.7	385.2 (0.93)		
R3-5	1.10	351.3 [1.00]	403.0		412.8 (0.85)	378.3 (0.93)		
R3-20	1.26	417.0 [1.19]	401.0	574.1	448.6 (0.93)	435.5 (0.96)		
R4		391.8	438.4	532.5 (0.74)	399.3 (0.98)	344.9 (1.14)		

A:抵抗係数 y: プレストレス係数

]: 導入プレストレス 5kgf/cm²のはりに対する増加率

):安全率=(実験値)/(理論値)



有効プレストレス(kgf/cm²)

図-8 終局ねじり耐力と有効 プレストレスの関係 (児島式は 1=0.6の時)

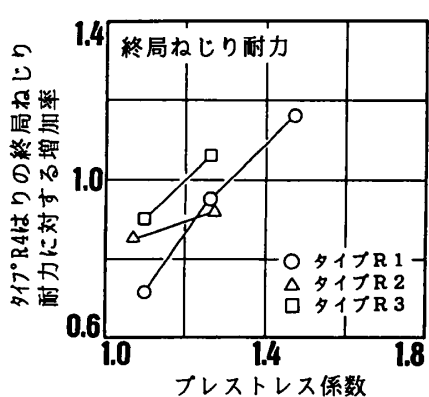


図-9 終局ねじり耐力の増加率 とプレストレス係数の関係

慮している。しかし、児島式は鋼材によるだぼ作用を 抵抗係数(え)により考慮しているために、この係数の 設定が終局ねじり耐力に大きな影響を及ぼす。抵抗係 数が終局ねじり耐力に及ぼす影響を表-6に示す。R Cはりでは抵抗係数を0.6、PRCはりでは0.5ぐらい にすると、実験値と理論値がよく一致する。

本実験で使用したはり断面は比較的大きいので終局 ねじり耐力へのねじり有効断面積の影響は少ないもの の、ねじり有効断面積を横方向鉄筋中心で求めた終局 ねじり耐力は、軸方向鋼材中心で求めた場合より約15 ~20%大きい理論値を示した。

4. 結 論

本研究で得られた結論は次のとおりである。

- (1) 土木学会「コンクリート標準示方書」のねじり耐 力式における終局時の軸方向鋼材と横方向鉄筋のせん 断流Q」とQ、がほぼ等しく、両者の鋼材比もほぼ等し い比較的大断面を有するPRC部材であっても、導入 プレストレスの増加に伴い終局ねじり耐力は増加する。 (2) PC鋼棒は、プレストレス導入時の緊張ひずみ近 傍で終局ねじり耐力に達する。PC鋼棒は導入した緊 張ひずみ近傍までねじりに抵抗するが、その後の荷重 繰返しに伴うPC鋼棒ひずみの増加は変形に対して抵 抗するのみで、耐力に対しては寄与しない。そのため、 導入プレストレスの少ないPRC部材の終局耐力の理 論値は、危険側になる。
- (3) 高強度せん断補強鉄筋は、最大ねじりモーメント 時に非常に小さいひずみしか生じず、降伏していない。 L. S:軸方向網材,横方向鉄筋によりねじり耐力が 最終ループまでに数本の高強度せん断補強鉄筋が降伏

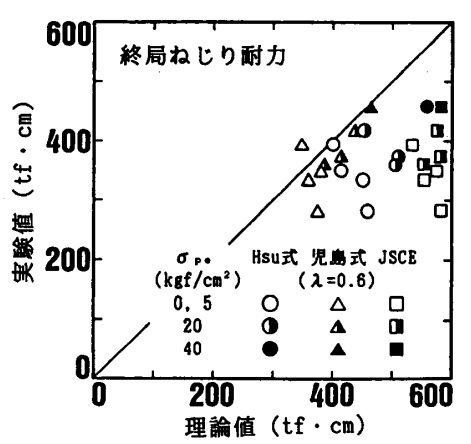


図-10 終局ねじり耐力の実験値 と理論値の関係

表-6 抵抗係数が終局ねじり耐力に 及ぼす影響

供試体	実験値	終局	終局ねじり耐力 (tf・cm)						
	(tf·cm)	λ=0.8	λ=0.6	λ=0.5	λ=0.4				
R1-5	279.1		373.9 L (0.75)		272.0 L (1.03)				
R1-20	373.2	502.5 L	413.5 L (0.90)	369.0 L	324.5 L				
R1-40	455.4	539.2 L	463.0 L (0.98)	424.9 L	386.7 L				
R2-5	332.7		359.5 L (0.93)						
R2-20	359.4	465.5 L	385.2 L (0.93)	345.0 L	304.9 L				
R3-5	351.3	493.1 S	378.3 S (0.93)						
R3-20	417.0	535.8 L	(0.93) 435.5 L (0.96)	372.0 S	306.3 S				
R4	391.8		344.9 S (1.14)						

λ:抵抗係数

決定された意味

するものの、全般的にひずみの増加が少なく、ねじりに対して必ずしも効果的に抵抗していない。

本研究は、平成2年度文部省科学研究費補助金により実施されたことを付記し、深謝致します。

参考文献

- [1] 児島孝之・髙木宣章・池田光伸・上垣義明:純ねじりを受けるPRC部材の終局耐力に関す る一実験、コンクリート工学年次論文報告集、Vol.11、No.2、pp.363-368、1989.6
- [2] 児島孝之・高木宣章・上垣義明: PRC部材の終局ねじり耐力に関する研究、コンクリート 工学年次論文報告集、Vol.12、No.2、pp.191-196、1990.6
- [3] Hsu: Torsion of Reinforced Concrete, Van Nostrand Reinhold Co., pp.171-194, 1984
- [4] 岡田清編:最新コンクリート工学、国民科学社、PP.100-106、1986